

DOI: https://doi.org/10.30898/1684-1719.2025.11.15

УДК: 535.376

17-я Международная конференция

«Газоразрядная плазма и ее применения»

Екатеринбург, Россия, 8-12 сентября 2025

# ТРАНСФОРМАЦИЯ ФЕНОЛА В ТВЕРДОМ СОСТОЯНИИ ПРИ ВОЗДЕЙСТВИИ ИМПУЛЬСНЫМ ЭЛЕКТРОННЫМ ПУЧКОМ

А.В. Спирина <sup>1</sup>, О.Н. Чайковская <sup>1,2</sup>, Е.Н. Бочарникова <sup>1,2</sup>, В.И. Соломонов <sup>1</sup>, Н.В. Юдина <sup>3</sup>

<sup>1</sup> ИЭФ УрО РАН 620016, Екатеринбург, ул. Амундсена, 106 <sup>2</sup>НИ ТГУ 634050, Томск, пр. Ленина, 36 <sup>3</sup> ИХН СО РАН 634055, Томск, пр. Академический, 4

Статья поступила в редакцию 2 октября 2025 г.

**Аннотация.** Проведена регистрация спектров поглощения и импульсной катодолюминесценции твердого фенола в процессе облучения импульсным электронным пучком длительностью 2 нс со средней энергией электронов 170 кэВ. Максимальное количество импульсов воздействия составило 4000 при частоте их следования 1  $\Gamma$ ц и максимальной поглощенной дозе за один импульс 1,38 к $\Gamma$ р. В спектре люминесценции выделено четыре полосы. Сильная полоса при 375 нм связана с переходом  $T_1 \rightarrow S_0$ , на длинноволновом краю которой наблюдаются менее интенсивные полосы при 395 и 475 нм, которые связаны с переходом из  $T_1$  в колебательные уровни  $S_0$  состояния. Длинноволновая полоса при 740 нм образована триплет-триплетным ( $T_i \rightarrow T_1$ ) переходом. Поведение интенсивностей всех полос люминесценции в зависимости от количества импульсов облучения имеет специфичный характер. Сначала происходит нарастание интенсивности полосы до достижения максимума, но после него происходит экспоненциальный спад, обусловленный трансформацией фенола.

Этот процесс начинается с разрыва связи ОН, в результате чего образуется феноксильный радикал, окисление которого приводит к образованию бензохинонов, взаимодействующих с фенолом с образованием комплексных соединений.

**Ключевые слова:** электронный пучок, фенол, импульсная катодолюминесценция.

**Финансирование:** государственное задание Минобрнауки России, проект № 124022200004-5.

Автор для переписки: Спирина Альфия Виликовна, alfiya\_r@list.ru

## Введение

Фенолы относятся к классу органических соединений, обладающих высокой токсичностью, причем ядовитыми являются и его производные. Тем не менее, фенол используют в различных отраслях народного хозяйства: производство пластмасс, полимеров, эпоксидных смол, лекарств, красителей, моющих средств, ядохимикатов, взрывчатых средств и др. [1]. Фенол является одним из самых распространенных веществ, загрязняющих окружающую природную среду, он устойчив к биодеградации и обнаруживается в почвах и поверхностных водах. Все это стимулирует поиск эффективных решений для его разложения и создание на их основе очистительных технологий твердых отходов химических и фармацевтических предприятий [2].

В настоящее время существуют различные методы по удалению загрязняющих органических соединений из сточных вод с использованием включающих адсорбцию [3], коагуляцию [4], мембранное процессов, [5],анаэробную деградацию [6],усовершенствованные разделение окислительные процессы [7–9], но у всех этих процессов имеются свои ограничения. В связи с этим появился новый процесс очистки – использование ионизирующего излучения, при котором органические соединения могут быть разложены как путем окисления, так и восстановления без добавления дополнительных химических соединений. Одним ИЗ способов такого

воздействия является электронный пучок [10]. Данный метод также имеет ограничения, связанные в первую очередь с созданием и дальнейшим обслуживанием электронных ускорителей, кроме того, необходимо понимать процессы преобразования органического вещества при облучении его потоками электронов.

Самыми быстрыми и чувствительными способами исследования трансформации являются абсорбционная и люминесцентная спектроскопия. Много работ посвящено исследованию оптических свойств фенола в растворенном состоянии [11-13], но при этом практически не встречается исследований по изучению люминесцентных свойств фенола в твердом состоянии.

Целью работы является исследование спектров поглощения и люминесценции фенола в твердом состоянии и его трансформации при воздействии импульсным электронным пучком.

# 1. Объекты и методы исследования

В качестве объекта исследования выступал кристаллический фенол (Sigma-Aldrich, артикул CAS: 108-95-2). Импульсная катодолюминесценция (ИКЛ) регистрировалась на установке КЛАВИ [14] (Институт электрофизики УрО РАН, Екатеринбург, Россия) при возбуждении импульсным электронным пучком со средней энергией 170 кэВ, плотностью тока  $j_e = 130 \, \text{A/cm}^2$ , длительностью  $t_e = 2$  нс и плотностью энергии в импульсе  $W = 44.2 \, \text{мДж/cm}^2$ . Число импульсов облучения (N), следующих с частотой 1 Гц, было от 20 до 4000. Поглощенная доза от одного импульса электронного пучка оценивалась как:

$$D = \frac{W}{\rho d_e},\tag{1}$$

где  $\rho$  – плотность облучаемой смеси (для фенола  $\rho$  = 1.07 g/cm<sup>3</sup>),  $d_e$  = 300  $\mu$ m – средняя глубина проникновения электронов пучка в твердую смесь, которая определялась по эмпирической формуле для экстраполированного пробега

электронов при низких энергиях [15,16]. Для фенола поглощенная доза за один импульс составила 1,38 кГр.

Образцы устанавливались в негерметичную защитную камеру на расстоянии 12 мм от выходного окна ускорителя. Облучение образцов электронами осуществлялось при комнатной температуре в воздухе. Воздух в камере не прокачивался. Регистрировались интегральные по времени спектры импульсной катодолюминесценции в диапазоне от 350 до 850 нм:

$$I(\lambda) = \frac{1}{n} \int_{0}^{T} i(t, \lambda) dt,$$
 (2)

где T=20 мс — экспозиция фотоприемника, n — число импульсов электронного пучка, по которым накапливается и усредняется спектральная информация. Для первых  $N \le 200$  импульсов электронного пучка число накоплений составляло n=20, для  $200 < N \le 1200 - n = 200$ , при  $1200 < N \le 2000 - n = 400$ , при  $2000 < N \le 3200 - n = 600$  и при  $3200 < N \le 4000 - n = 800$ .

Из зарегистрированных спектров ИКЛ автоматически вычитался фон, представляющий собой спектр свечения воздуха под электронным пучком, накопленный при n=20 перед помещением каждого образца в камеру. Отметим, что при прохождении электронных пучков в закрытой камере происходит радиолиз воздуха, приводящий к изменению его состава и, соответственно, спектра свечения. Поэтому в регистрируемом спектре люминесценции образца, облученного серией импульсов, после вычитания фона остаются небольшие искажения.

Для регистрации кинетики люминесценции использовался комплекс на базе монохроматора МДР-41 и ФЭУ-100, сигнал с которого подавался на входное сопротивление 50 Ом осциллографа Keysight DSOX2014A.

Спектры поглощения были получены на двухлучевом спектрофотометре Specord 200 (AnalytikJena, Germany) в области 200-1100 нм.

Дифрактограммы образцов кристаллического фенола до и после облучения были получены на дифрактометре D8 DISCOVER (Bruker AXS GmbH, Германия) на медном излучении (Си  $K_{\alpha 1,2}$   $\lambda = 1,542$  Å) с графитовым

монохроматором на дифрагированном луче. Обработка выполнена с использованием программы TOPAS 3.

# 2. Результаты и обсуждения

Для регистрации спектров поглощения фенол был спрессован в таблетку диаметром 1 см и толщиной не превышающей 1 мм. На рис. 1а приведен спектр поглощения твердого фенола (кривая 1) до его облучения. Сначала проводилось облучение образца 100 (рис. 1а, кривая 2), 1600 (рис. 1а, кривая 3) и 3200 (рис. 1а, кривая 4) импульсами электронного пучка. Далее образец фенола, облученный 3200 импульсами, был растворен в деионизованной воде (рис. 1а, кривая 5).

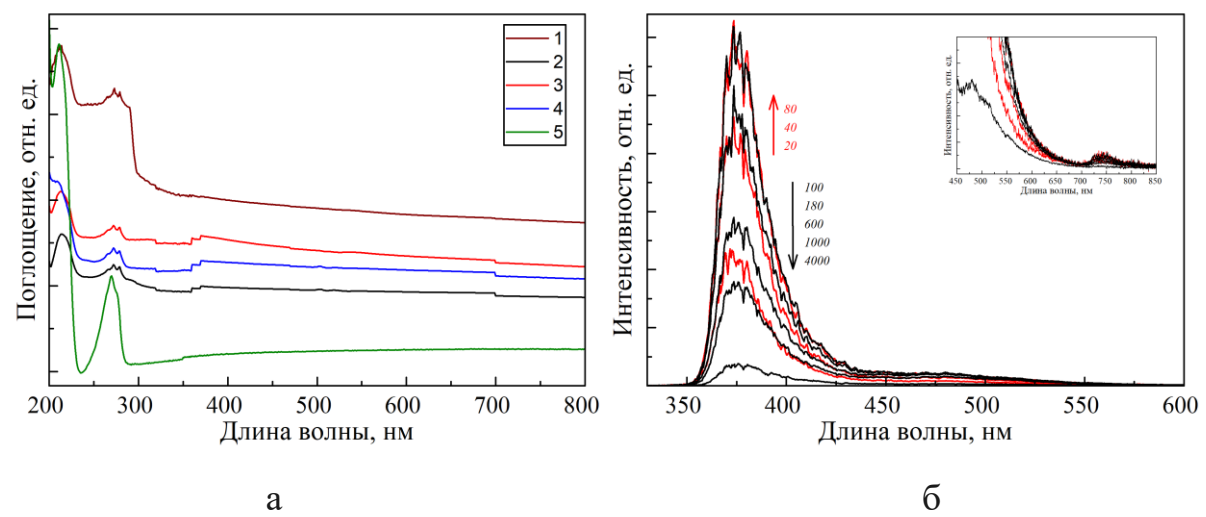


Рис. 1. Спектры поглощения (а) и ИКЛ (б) твердого образца фенола. а – до облучения (1) и после облучения 100 (2), 1600 (3), 3200 (4) импульсами электронного пучка; спектр поглощения фенола, облученного 3200 импульсами, растворенного в деионизованной воде (увеличен в 30 раз) (5). б – красным/черным цветом показаны ИКЛ спектры, интенсивность которых нарастает/спадает в соответствии с указанным количеством импульсов облучения. На вставке приведены те же самые спектры для демонстрации полосы при 740 нм.

В спектре необлученного твердого фенола наблюдаются две интенсивные полосы поглощения при 214 и 270 нм с появлением «плеча» при 290 нм. При облучении потоком электронов «плечо» исчезает, но в тоже время начинаются изменения в областях 240 и 375 нм. Максимальная прозрачность зафиксирована у образца, облученного 100 импульсами электронного пучка.

Спектр поглощения фенола после 3200 импульсов облучения и растворенного в воде содержит две полосы при 211 и 270 нм (рис. 1а, кривая 5).

Спектры ИКЛ фенола при различном количестве импульсов облучения электронными пучками N (от 20 до 4000) приведены на рис. 1б. В них проявляется широкая полоса излучения от 350 до 600 нм с максимумом при 375 нм и полоса в области 740 нм (вставка на рис. 1б). Интенсивная полоса при 375 нм имеет на длинноволновом крыле два максимума в окрестностях 395 и 475 нм.

С ростом N сначала происходит нарастание интенсивностей указанных полос до максимума (рис. 16, красные спектры), который достигается при  $N_m = 80$  (для 375 и 740 нм), 100 (для 395 нм) и 400 (для 475 нм). После достижения максимума с ростом числа импульсов облучения интенсивности этих полос спадают (рис. 16, черные спектры).

Поведение интенсивностей полос после достижения максимума приведено на рис. 2, оно описывается экспоненциальным уравнением:

$$I = i_0 + I_0 \exp(-k_N (N - N_m)), \tag{3}$$

где  $I_0$  — интенсивность ИКЛ при  $N=N_m$ ;  $i_0$  — интенсивность, пропорциональная содержанию нетрансформированных центров, излучающих соответствующие полосы;  $k_N$  —константа, пропорциональная скорости трансформации вещества. Значения константы  $k_N$  для полос при 375, 395, 475 и 740 нм соответственно равны  $(15.47\pm0.66)\cdot10^{-4}$ ,  $(12.63\pm0.91)\cdot10^{-4}$ ,  $(8.09\pm0.44)\cdot10^{-4}$  и  $(10.67\pm0.85)\cdot10^{-4}$ .

Известно, что у молекулы фенола есть синглетные электронные которые активно принимают участие состояния, поглощении И [11-13].фенол флуоресценции Так водных средах поглощает ультрафиолетовой области при 270 нм  $(S_0 \to S_1)$  и 205-215 нм  $(S_0 \to S_i)$ . Максимум полосы флуоресценции наблюдается около 300 нм ( $\lambda_{возб} = 270$  нм).

В спектре твердого фенола синглетные уровни располагаются в запрещенной зоне кристалла. Поглощение образца, который не был облучен электронным пучком, происходит в ультрафиолетовой области на этих же длинах волн, как и в растворе, при 270 и 214 нм в состояния  $S_1$  и  $S_i$ 

соответственно. Однако в спектре наблюдается «плечо» при 290 нм (рис. 1а, кривая 1), которое при облучении потоком электронов исчезает, но в тоже время начинает проявляться изменение в спектре поглощения в области 375 нм (рис. 1а, кривые 2-4).

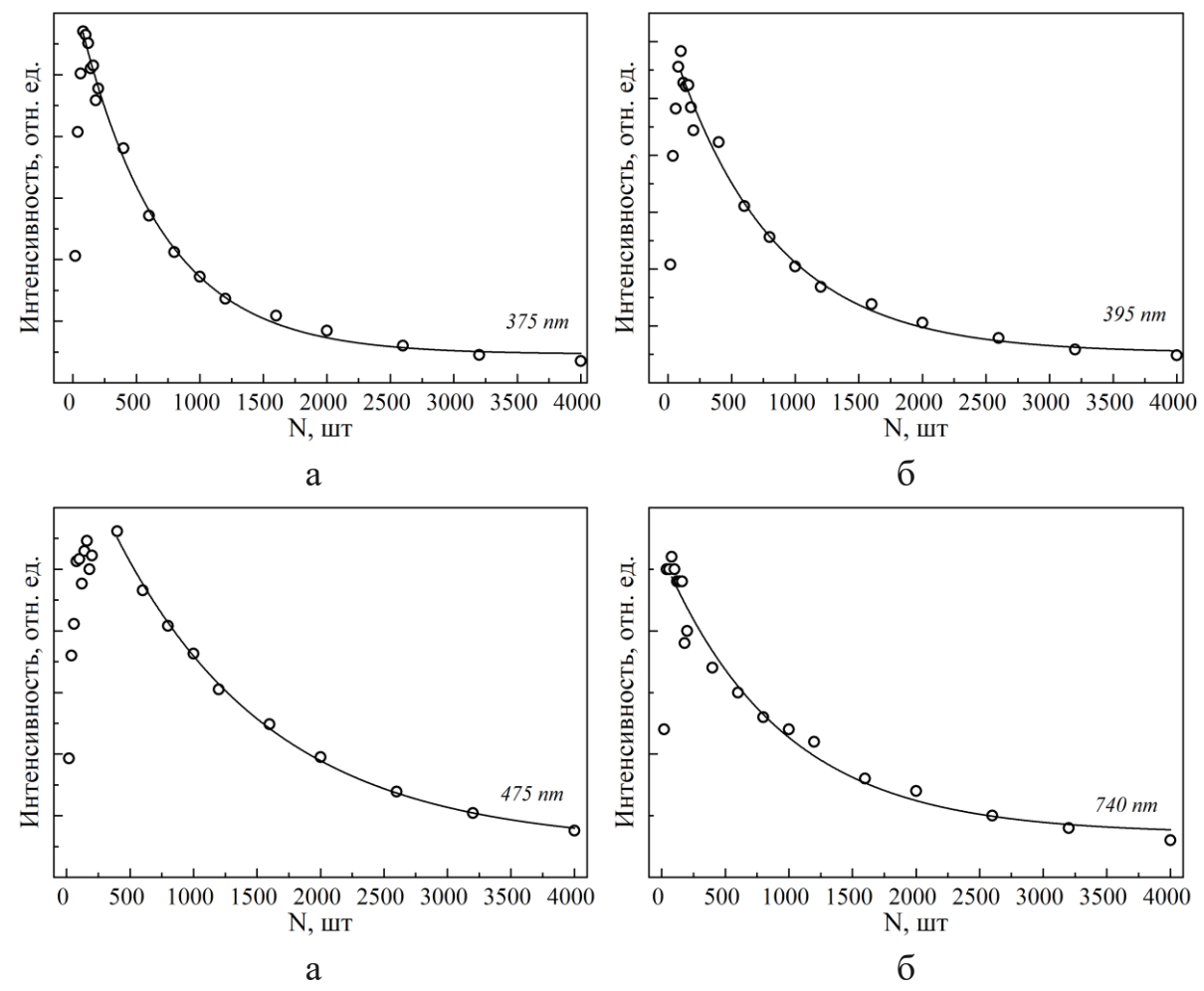


Рис. 2. Зависимости интенсивности люминесценции полос при 375 (а), 395 (б), 475 (в) и 740 нм (г) от количества импульсов облучения. Сплошная линия – аппроксимация экспоненциальной функцией (3).

Появление «плеча» при 290 нм в спектре поглощения твердого фенола связано с наличием *п*-бензохинона, который в воде имеет две полосы поглощения при 250 и 294 нм [11]. Наличие *п*-бензохинона вполне объяснимо, так как бесцветные игольчатые кристаллы фенола легко окисляются на воздухе, что сопровождается их окрашиванием.

Появление поглощения в области 375 нм в твердом образце фенола после его облучения электронами, наряду с имеющимися полосами с максимумами 270 нм  $(S_0 \to S_1)$  и 214 нм  $(S_0 \to S_i)$ , возможно связано с заселением

 $(S_n \rightarrow T_1),$ положение триплетного состояния которого соответствием совпадает с расчетным значением (27000 см<sup>-1</sup>, 370 нм) [17]. В процессах испускания большое значение имеют первые возбужденные состояния  $S_1$  и  $T_1$ . Переходы из более высоковозбужденных состояний в  $S_1$  $T_1$ И  $S_0$  осуществляются очень быстро состояния И являются безызлучательными. В твердом состоянии заморожены вращательные состояния и поэтому мы можем обнаружить излучение из T<sub>1</sub> в S<sub>0</sub>, а также установить положение электронно-колебательных переходов.

Наличие триплетных состояний приводит к возникновению импульсной катодолюминесценции при 375, 395, 475 и 740 нм. Излучение самой интенсивной полосы при 375 нм ( $T_1 \rightarrow S_0$ ) происходит с состояния  $T_1$ , на которое, возможно, осуществляется переход из вышерасположенных состояний  $T_1$  на длине волны 740 нм (рис. 3a).

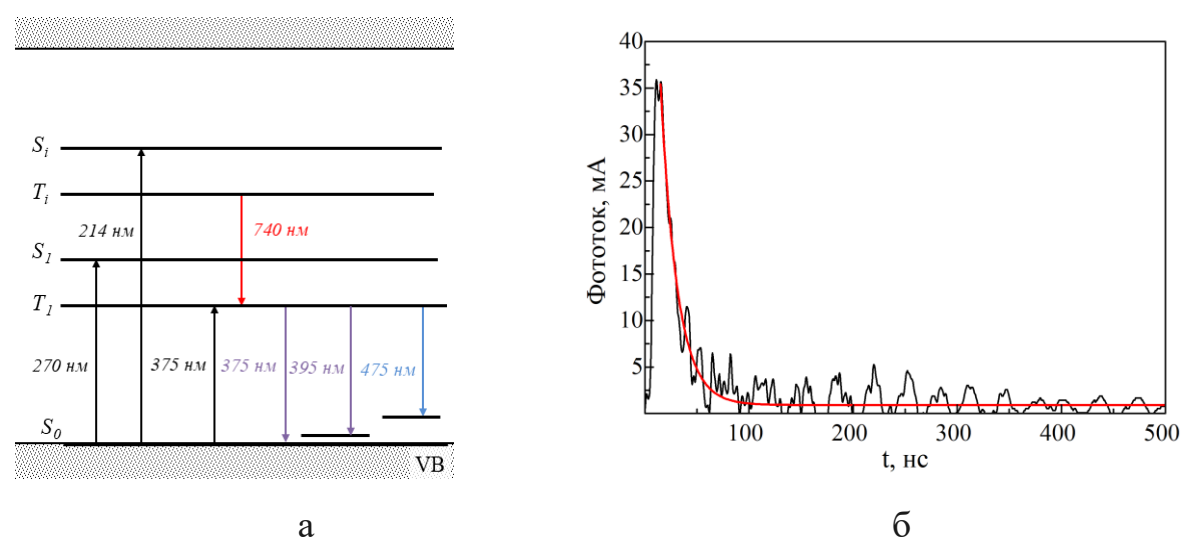


Рис. 3. (a) – образование полос поглощения и люминесценции в твердом феноле при облучении электронным пучком; (б) – вид характерной кинетической кривой для полос при 375, 395 и 475 нм.

Другие две полосы ИКЛ при 395 и 475 нм, лежащие на крыле основой полосы, образованы излучением с триплетного состояния  $T_1$  на колебательные уровни основного состояния  $S_0$  с частотами колебаний  $v_1 \approx 1350 \, \text{сm}^{-1}$  и  $v_2 \approx 4 \cdot v_1 \approx 5614 \, \text{cm}^{-1}$  соответственно, причем колебание с частотой  $v_1$  принадлежит деформационным колебаниям фенольной группы ОН [18]. Спад интенсивностей этих полос в зависимости от времени (рис. 36) определяется

экспоненциальным законом с характерными временами 16, 13 и 7 нс для полос 375, 395 и 475 нм соответственно. Малые значения времен указывают на большую скорость безызлучательной колебательной конверсии триплетного уровня.

Специфичное поведение интенсивностей полос ИКЛ в зависимости от числа импульсов облучения (рис. 2), а именно нарастание до максимума и спад, сначала происходит эффективное возбуждение связано тем, ЧТО люминесценции и излучение ее с триплетных состояний, но ровно до момента,  $N = N_{max}$ далее начинает происходить трансформация Под действием электронного пучка ОН-связь молекулы фенола разрывается, в результате чего образуется феноксильный радикал с неспаренным электроном. Он является очень активным и легко взаимодействует с кислородом воздуха с образованием бензохинонов. Заметим, что разрыв связей происходит не для всех молекул фенола, о чем свидетельствует поведение интенсивностей полос, подчиняющихся экспоненциальному закону, при котором имеется «полка насыщения», не стремящаяся к нулю.

Облучение фенола электронным пучком приводит к его равномерной насыщенной окраске в светло-оранжевый цвет (рис. 4а), что дополнительно подтверждает наличие веществ хиноидной структуры: *п*-бензохинона и о-бензохинона. Окраска хинонов является их характерным свойством: *п*-бензохинон можно отличить от *о*-бензохинона по тому, что первый в большинстве случаев бывает желтым, а второй — оранжевым [19]. Образец после облучения не является чисто желтым или чисто оранжевым, а представляет собой смешанный оттенок из этих двух цветов.

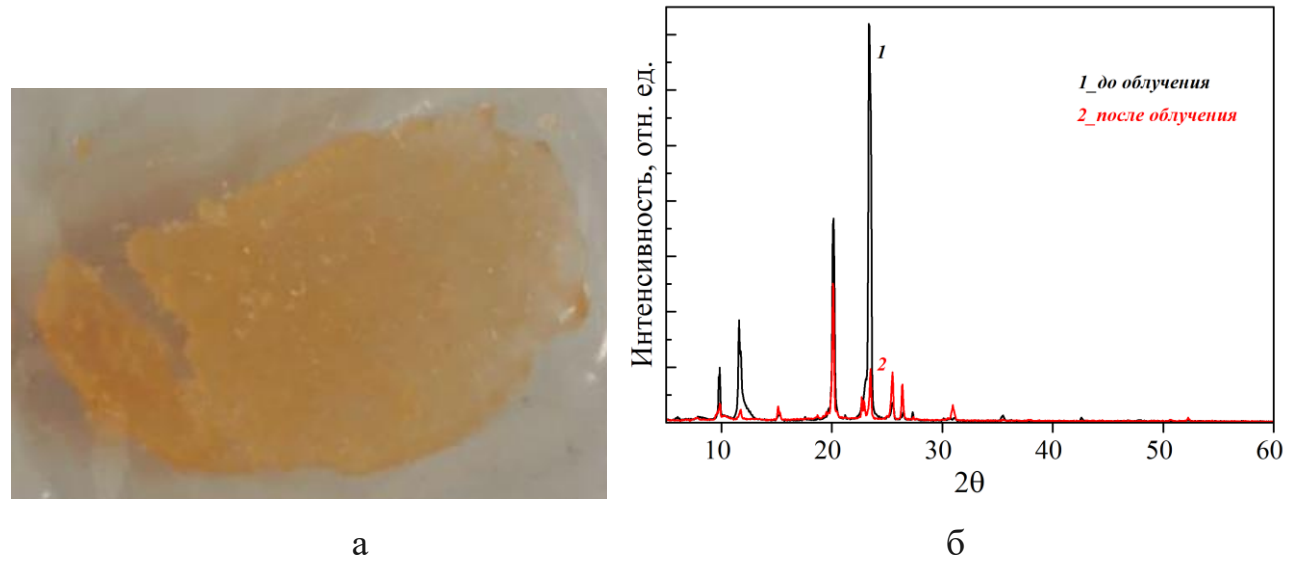


Рис. 4. Фотография фрагмента спрессованной таблетки фенола после облучения 3200 импульсами электронного пучка (а). Рентгенофазовый анализ кристаллов фенола до (кривая 1) и после (кривая 2) облучения 4000 импульсами электронного пучка (б).

Различие между кристаллическими состояниями до и после облучения наблюдается в дифрактограммах (рис. 4б). Кристаллическая структура фенола имеет упорядоченную трехмерную сетку, образованную молекулами фенола, которые связаны водородными связями между гидроксильной группой одной молекулы и бензольным кольцом другой молекулы. Рентгенофазовый анализ показал, что необлученный образец имеет орторомбическую решетку фенола (карточка №00-037-1616) (пространственная группа не указана) с периодами a = 6.02 Å, b = 9.04 Å, c = 15.18 Å (рис. 4б, кривая 1), дополнительных фаз не обнаруживается. Однако в спектре поглощения необлученного твердого фенола фиксируется наличие бензохинона, который может образовывать свою кристаллическую структуру (моноклинная сингония с параметрами a = 7.03 Å,  $b = 6.79 \text{ Å}, c = 5.77 \text{ Å и } \beta = 101.0^{\circ}[20]$ ). Возможно, для определения содержания этой фазы не хватило чувствительности метода. К сожалению, не удалось расшифровать дифракционную картину, полученную для облученного образца (рис. 4б, 2), она заметно отличается OT дифрактограммы необлученного фенола. особенностью Скорее ЭТО всего, связано образовавшейся кристаллической структуры. Известно [21,22], что фенолы и

хиноны могут образовывать комплексные соединения, такие как фенохинон и хингидрон, которые могут усложнять кристаллическую структуру и затруднять интерпретацию дифрактограмм.

### Заключение

В работе исследовались спектры поглощения И импульсной катодолюминесценции твердого фенола до и после облучения электронным пучком. В спектре поглощения необлученного образца на фоне основных полос фенола при 270 нм ( $S_0 \to S_1$ ) и 214 нм ( $S_0 \to S_i$ ) проявляется полоса, связанная с наличием бензохинона. При облучении образцов эта полоса пропадает, но проявляется особенность в спектре при 375 нм, связанная с активацией триплетного состояния Т<sub>1</sub>. Импульсная катодолюминесценция наблюдается на полосах при 375, 395, 475 нм ( $T_1 \rightarrow S_0$ ) с участием в том числе колебательных И 740 нм  $(T_i \rightarrow T_1)$ . Специфичное поведение интенсивности люминесценции полос фенола говорит о его трансформации через разрыв связи ОН и образование феноксильных радикалов, дальнейшего их окисления до бензохинонов. Получившиеся результате облучения молекулярные В соединения образуют кристаллическую решетку, отличающуюся от решетки фенола.

**Финансирование:** Результаты были получены в рамках выполнения государственного задания Минобрнауки России, проект № 124022200004-5.

# Литература

- 1. Нуртдинов С.Х., Султанова Р.Б., Фахрутдинова Р.А. Фенол. Свойства. Применение. Методы получения. // Изд-во Казан. национ. исслед. технолог. ун-та 2005. 75 с.
- 2. Юсупова А.В. Экологический мониторинг фенола и его позиционных изомеров в поверхностных водах (на примере Куйбышевского водохранилища): дис. канд. техн. наук: 2.10.2: защищена 28.11.2024 / Юсупова Александра Витальевна. Казань, 2024. 158 с.
- 3. Rivera-Utrilla J. et al. Activated carbon modifications to enhance its water treatment applications. An overview // Journal of hazardous materials. 2011. T. 187. №. 1-3. C. 1-23. https://doi.org/10.1016/j.jhazmat.2011.01.033
- 4. Teh C.Y. et al. Recent advancement of coagulation—flocculation and its application in wastewater treatment // Industrial & Engineering Chemistry Research. 2016.
   T. 55. №. 16. C. 4363-4389. https://doi.org/10.1021/acs.iecr.5b04703
- 5. Couto C.F., Lange L.C., Amaral M.C.S. A critical review on membrane separation processes applied to remove pharmaceutically active compounds from water and wastewater // Journal of Water Process Engineering. 2018. T. 26. C. 156-175. https://doi.org/10.1016/j.jwpe.2018.10.010
- 6. Azizan N.A.Z., Yuzir A., Abdullah N. Pharmaceutical compounds in anaerobic digestion: A review on the removals and effect to the process performance // Journal of Environmental Chemical Engineering. − 2021. − T. 9. − №. 5. − C. 105926. https://doi.org/10.1016/j.jece.2021.105926
- 7. Ribeiro A.R. et al. An overview on the advanced oxidation processes applied for the treatment of water pollutants defined in the recently launched Directive 2013/39/EU // Environment international. 2015. T. 75. C. 33-51. https://doi.org/10.1016/j.envint.2014.10.027
- 8. Wang J., Zhuan R. Degradation of antibiotics by advanced oxidation processes: An overview // Science of the Total Environment. 2020. T. 701. C. 135023. https://doi.org/10.1016/j.scitotenv.2019.135023

- 9. Kanakaraju D., Glass B.D., Oelgemöller M. Advanced oxidation process-mediated removal of pharmaceuticals from water: A review // Journal of environmental management. 2018. T. 219. C. 189-207. https://doi.org/10.1016/j.jenvman.2018.04.103
- 10. Madureira J. et al. Ionizing radiation for treatment of pharmaceutical compounds: A review // Journal of Water Process Engineering. 2022. T. 49. C. 103179. https://doi.org/10.1016/j.jwpe.2022.103179
- 11. Чайковская О.Н. Влияние рН среды на фотолиз фенола в воде / О.Н. Чайковская, И.В. Соколова, Н.Б. Сультимова // Оптика атмосферы и океана.
   2001. Т. 14, № 11. С. 1046-1049.
- 12. Riley J.W. et al. Unravelling the role of an aqueous environment on the electronic structure and ionization of phenol using photoelectron spectroscopy // The Journal of Physical Chemistry Letters. − 2018. − T. 9. − №. 4. − C. 678-682. https://doi.org/10.1021/acs.jpclett.7b03310
- 13. Алукер Н.Л., Лаврентьева А.Л., Суздальцева Я.М. Прямые оптические методы исследования в аналитике фенола // Оптика и спектроскопия. 2020.
   Т. 128. №. 3. С. 435-441. https://doi.org/10.21883/OS.2020.03.49072.137-19
- 14. Solomonov V.I. et al. CLAVI pulsed cathodoluminescence spectroscope //
  Laser physics. 2006. T. 16. №. 1. C. 126-129.
  https://doi.org/10.1134/S1054660X06010117
- 15. Диденко А.Н., Лигачев А.Е., Куракин И.Б. Воздействие пучков заряженных частиц на поверхность металлов и сплавов. Энергоатомиздат, 1987.
- 16. Абрамов А.И., Казанский Ю.А., Матусевич Е.С. Основы экспериментальных методов ядерной физики. 3 изд. M, 1985.
- 17. Чайковская О.Н. Спектрально-люминесцентные свойства и фотолиз некоторых производных фенола / О.Н. Чайковская, О.К. Базыль, Е.Н. Бочарникова // Известия ВУЗов. Физика. 2021. Т. 64, № 8. С. 3-8. https://doi.org/10.17223/00213411/64/8/3

- 18. Тарасевич Б.Н. ИК спектры основных классов органических соединений // Справочные материалы. М: МГУ. 2012.
- 19. Физер Л. Органическая химия / Л. Физер, М. Физер. М., 1970. Т. 2. 800 с.
- 20. Китайгородский А.И. Органическая кристаллохимия // М.: изд-во АН СССР. 1955. 558 с.
- 21. Соколович В.Б. Термический анализ и колориметрическое исследование комплексообразующих систем, содержащих хинон // Известия Томского политехнического университета. Инжиниринг георесурсов. 1953. Т. 77. С. 164-187.
- 22. Лекция №39. XИНОНЫ. Электронный ресурс, режим доступа: https://trotted.narod.ru/organic/lec-39/39.html

### Для цитирования:

Спирина А.В., Чайковская О.Н., Бочарникова Е.Н., Соломонов В.И., Юдина Н.В. Трансформация фенола в твердом состоянии при воздействии импульсным электронным пучком // Журнал радиоэлектроники. -2025. -№. 11. https://doi.org/10.30898/1684-1719.2025.11.15